

МИНЕРАЛЬНЫЕ ВКЛЮЧЕНИЯ В ЗЕРНАХ ПЛАТИНЫ ИЗ КАЗАНСКОЙ РОССЫПИ (ЮЖНЫЙ УРАЛ)

Е.В. Зайкова, И.А. Блинов, В.А. Котляров

Южно-Уральский научный центр минералогии и геоэкологии УрО РАН,

Институт минералогии, г. Миасс, Челябинская обл., 456317 Россия; zaykova@mineralogy.ru

MINERAL INCLUSIONS IN PLATINUM GRAINS FROM THE KAZAN PLACER (SOUTH URALS)

E.V. Zaykova, I.A. Blinov, V.A. Kotlyarov

South Urals Federal Research Center of Mineralogy and Geoecology UB RAS, Institute of Mineralogy,
Miass, Chelyabinsk district, 456317, Russia; zaykova@mineralogy.ru

Зерна платины из Казанской россыпи на Южном Урале содержат включения самородных металлов (золота, сплавов группы осмия), а также халькогенидов элементов платиновой группы, представленных сульфидами (лауритом, эрликманитом, бауитом), сульфоарсенидами (иарситом, холлингвортитом), стибиопалладинитом, теллуридом (меренскиитом) и селенидами.

Илл. 5. Табл.7. Библ. 13.

Ключевые слова: Казанская россыпь, платина, самородное золото, сплавы элементов группы осмия, теллуриды, селениды и сульфиды ЭПГ.

Platinum grains from the Kazan placer in the South Urals contain inclusions of native metals (gold, osmium group alloys), as well as PGE chalcogenides: sulfides (laurite, erlichmanite, bauite), sulfoarsenides (irarsite and hollingworthite), stibiopalladinite, telluride (merenskiite) and selenides.

Figures 5. Tables 7. References 13.

Key words: Kazan player, platinum, native gold, alloys of the osmium group elements, tellurides, selenides, sulfides PGE.

Введение

В настоящее время элементы платиновой группы (ЭПГ) отнесены к категории стратегического сырья (Распоряжение Правительства РФ от 22 декабря 2018 г. № 2914-р «О стратегии развития минерально-сырьевой базы РФ до 2035 г.»). К группе платиновых металлов относится шесть элементов – Ru, Rh, Pd, Os, Ir и Pt. Южный Урал является одним из регионов, где происходит попутная добыча платиноидов из россыпей золота.

Для россыпей Южного Урала характерно неравномерное распределение минералов платиновой группы (МПГ) с переменным составом (Ir-Os-Ru и Pt-Fe) (Зайков и др., 2016а–в). МПГ часто содержат включения других минералов, в том числе халь-

когениды ЭПГ (Зайков и др., 2018). Информация о минеральных формах нахождения ЭПГ вносит существенный вклад в определение источников и условий образования россыпей (Zaykov et al., 2017).

Одним из объектов, где происходит промышленная добыча золота и ЭПГ, являются россыпи Гогинской россыпной зоны, которая находится в 100–150 км к ЮЮВ от г. Магнитогорска (рис. 1). В состав зоны входит 20 россыпей длиной 1.0–3.0 км и шириной 80–200 м. Тип россыпей карстовый и аллювиально-пролювиальный, возраст мезозойский и миоценовый. Гогинская зона относится к россыпям Южного Урала, образование которых связано с эрозионно-структурными депрессиями, заполнившимися континентальными осадками мезозоя (Сигов и др., 1971; Баранников, 2006).

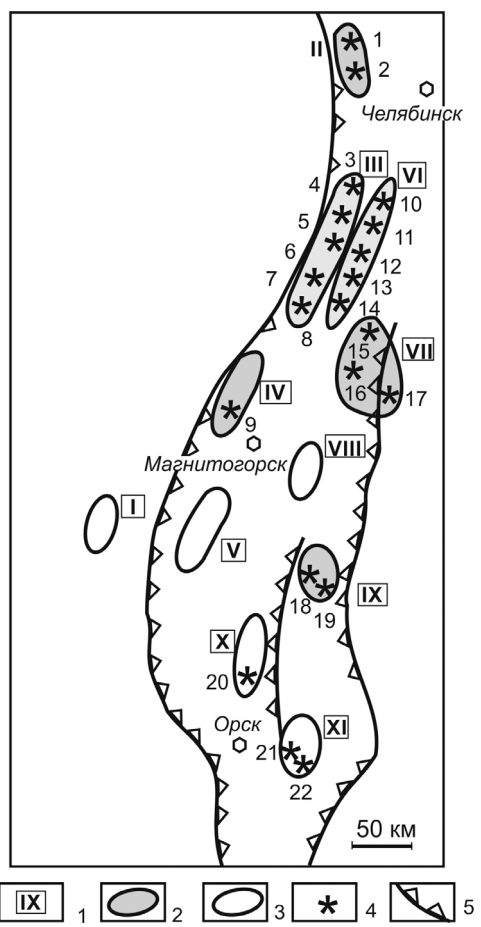


Рис. 1. Схема расположения основных россыпных зон на Южном Урале с данными о составе золота по (Зайков и др., 2016в).

1 – россыпные зоны; 2, 3 – россыпи золота с платиноидами (2) и без платиноидов (3); 4 – места отбора проб; 5 – фрагменты гипербазитовых поясов.

Россыпные зоны: I – Авзянско-Приельская, II – Кыштымская, III – Миасская, IV – Миндякская, V – Восточно-Ирендыкская, VI – Непряхинская, VII – Кочкарская, VIII – Гумбейская, IX – Гогинская, X – Амамбайская, XI – Суундуksкая.

Fig. 1. Position of main placer zones in the South Urals with available data on the composition of gold after (Zaykov et al., 2016).

1 – placer zones; 2, 3 – gold placers with (2) and without (3) PGMs; 4 – sampling places; 5 – fragments of ultramafic belts.

Placer zones: I – Avzyan–Pribelskaya, II – Kyshtym, III – Miass, IV – Mindyak, V – East Irendyk, VI – Nepryakhino, VII – Kochkar, VIII – Gumbeyskaya, IX – Gogino, X – Amambayka, XI – Suunduk.

Казанская россыпь приурочена к Брединской эрозионной депрессии (рис. 2). Рассыпь имеет сложное строение и входит в состав одноименного россыпного поля длиной 5 км (Зайков и др., 2016в). На этом поле распространены мезозойские и неоге-

новые золотоносные отложения. В наиболее крупной Владимирской россыпи площадью 0.5×0.8 км золотоносный пласт мелового возраста имеет мощность 1.1 м. Ниже золотоносных пластов залегают карстовые отложения с золотосодержащими «косями пластами» мощностью до 10 м.

Методы исследований

Материал для исследований в виде платинового концентрата и черного шлиха передан сотрудниками ООО «Миасский прииск» А.Ю. Ивановым и Б.Я. Гисматуллиным. Пробы были отобраны из карьера № 3 Казанской россыпи в июле 2017 г. Обработка проб проводилась К.А. Новоселовым по схеме: 1) классификация по крупности: +2, -2...+1, -1...+0.5, -0.5...+0.25, -0.25 мм; 2) магнитная/электромагнитная сепарация фракций -1...+0.5, -0.5...+0.25, -0.25 мм с помощью магнита Сочнева; 3) разделение немагнитной фракции в бромоформе (2.9 g/cm^3) с перечисткой класса -0.25 мм.

В пробах встречались зерна золота и ЭПГ, которые были изучены под бинокулярным микроскопом и рассортированы по морфологии В.В. Зайковым. Из нескольких десятков зерен разных морфологических типов были смонтированы полированные брикеты на основе эпоксидной смолы. Состав минералов исследован на растровых электронных микроскопах VEGA3 TESCAN с энергодисперсионной приставкой Oxford Instruments X-act (аналитик А.И. Блинов) и РЭММА 202М ЭДС Link (аналитик В.А. Котляров). При анализе использовался ток 15 нА, ускоряющее напряжение 20 кВ, время набора спектра 120 с. В качестве стандартов использованы чистые металлы ЭПГ и селенид свинца (MINM-25-53 стандарт ASTMEX, шашка № 01–044).

Результаты исследований

Зерна золота и платины из Казанской россыпи установлены во фракциях -1...+0.5, -0.5...+0.25 и -0.25. Количество платины достигает 73 % от всех исследованных зерен МПГ (рис. 3). Помимо платины встречаются сплавы промежуточного состава Os-Ru-Ir, а также сульфиды и сульфоарсениды ЭПГ.

Зерна платины имеют уплощенную форму. По химическому составу вся платина относится к ферроплатине или железистой платине (среднее содержание Pt 90.28 мас. %; табл. 1). Резко преобладает платина с содержаниями 89–91 мас. % Pt

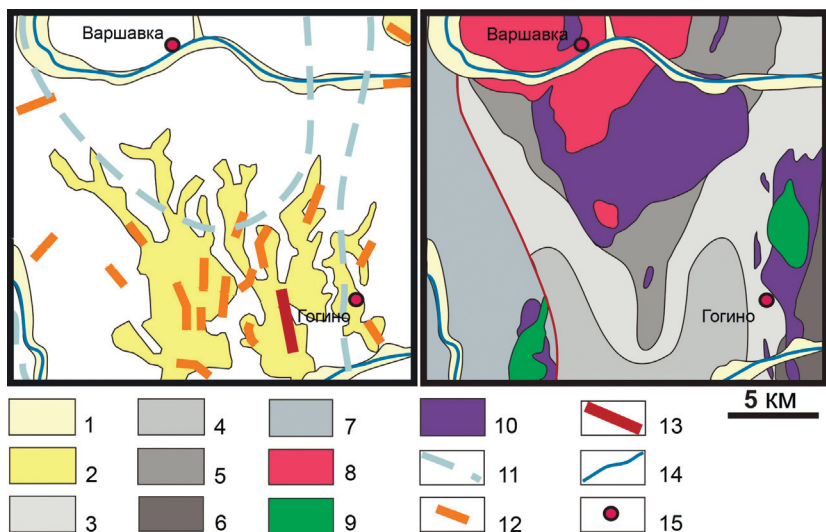


Рис. 2. Положение Казанской россыпи в Гогинской россыпной зоне (составлено Е.В. Белогуб по материалам геологической карты листа N-41-XXVG, с упрощениями).

1 – четвертичные аллювиальные отложения; 2 – неогеновые аллювиальные и пролювиальные отложения; 3 – углеродистые сланцы; 4 – известняки; 5 – слюдистые сланцы; 6 – углисто-глинистые сланцы; 7 – песчаники; 8 – гранитоиды; 9 – габбро; 10 – серпентиниты; 11 – границы Брединской структурно-эрзационной депрессии; 12 – россыпи; 13 – Казанская россыпь; 14 – реки; 15 – населенные пункты.

Fig. 2. Position of the Kazan placer in the Gogino placer zone (simplified by E.V. Belogub after State Geological Map, sheet N-41-XXVG).

1 – Quaternary alluvium; 2 – Neogene alluvium and proluvium; 3 – carbonaceous schists; 4 – limestones; 5 – micaeuous schists; 6 – carbonaceous-clayey schists; 7 – sandstones; 8 – granitoids; 9 – gabbro; 10 – serpentinites; 11 – boundary of the Bredy structural erosion depression; 12 – placers; 13 – Kazan placer; 14 – rivers; 15 – settlements.

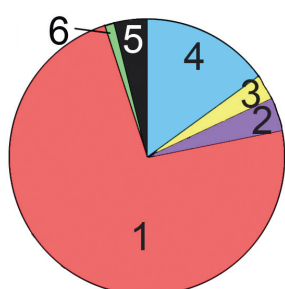


Рис. 3. Содержание отдельных зерен платиноидов различного состава (141 зерно).

1 – платина, изоферроплатина, тетраферроплатина (73 %); 2 – иридий (4 %); 3 – рутений (3 %); 4 – осмий (15 %); 5 – арсениды, сульфиды и сульфоарсениды (4 %); 6 – сростки (1 %).

Fig. 3. Amount of PGM grains of different composition (141 grains in total).

1 – platinum, isoferroplatinum, tetraferroplatinum (73 %); 2 – iridium (3 %); 3 – osmium (15 %); 4 – arsenides, sulfides, sulfoarsenides (4 %); 5 – intergrowths (1 %).

(79 % от количества зерен). В подчиненном количестве встречается платина с содержаниями (мас. %) 92–93 Pt (11 %), 87–88 Pt (6 %), 95 Pt (2 %) и 82 и 76 (1 %). Во всех анализах отмечается примесь Fe: 2.59–9.81 мас. % (среднее содержание Fe

7.36 мас. %). В большинстве анализов определены примеси Cu (0.19–4.02 %), Rh (0.3–4.18 мас. %) и Pd (0.2–2.79 мас. %). Реже отмечаются Os (до 14.64 мас. %), Ir (обычно 1–3 мас. %, в одном случае до 5.62 мас. %), Ru (0.2–2.25 мас. %) и Sb (0.57–3.14 мас. %). Примесь Ni установлена только в трех пробах в концентрациях на пределе чувствительности прибора 0.11–0.12 мас. %.

Зерна платины часто содержат включения других минералов, представленных самородными металлами и халькогенидами ЭПГ.

Самородное золото образует субизометрические включения размером до 20–40 мкм (рис. 4а, б). По химическому составу золото относится к средне- и высокопробному (Петровская, 1973). Для золота характерны примеси Pd (до 3.98 мас. %) и Cu (до 0.58 мас. %) (табл. 2). Содержания Pt обычно не превышают 6 мас. %, в одном анализе достигая 21.16 мас. %. Иногда отмечаются примеси Ir, Fe и Os. Золото из включений в платине резко отличается по составу от свободного комковидного, уплощенного, чешуйчатого золота из россыпи, содержание Ag в котором составляет 5–25 мас. %. Это золото часто окружено прерывистой каймой

Таблица 1
Table 1

Состав зерен платины из Казанской россыпи (мас. %)
Chemical composition of platinum grains from the Kazan placer (wt. %)

№ п/п	Проба (зерно)	№ анализа	Кол-во анализ.	Os	Ir	Rh	Ru	Pt	Pd	Sb	Cu	Fe	Ni	Сумма	Кристаллохимическая формула
1	Kap2-гүб(1)	16140a	1	—	—	—	—	89.45	0.44	—	0.91	8.29	—	99.09	(Pt _{0.73} Fe _{0.24} Cu _{0.02} Pd _{0.01}) _{1.00}
2	Kap2-гүб(2)	16140b	1	0.34	—	—	—	89.79	0.45	—	0.93	8.39	—	100.00	(Pt _{0.73} Fe _{0.24} Cu _{0.02} Pd _{0.01}) _{1.00}
3	Kap2-гүб(3)	16140nv*	2	0.56	—	—	—	89.70	0.14	—	0.93	8.36	—	99.68	(Pt _{0.73} Fe _{0.24} Cu _{0.02} Os _{0.01}) _{1.00}
4	Kap2-гүб(4)	16141a	1	—	—	—	—	90.48	0.60	—	1.01	8.06	—	100.15	(Pt _{0.74} Fe _{0.23} Cu _{0.02} Pd _{0.01}) _{1.00}
5	Kap2-гүб(5)	16141hm*	2	1.03	—	—	—	89.88	—	—	1.25	7.88	—	100.28	(Pt _{0.73} Fe _{0.23} Cu _{0.03} Os _{0.01}) _{1.00}
6	Kap2-гүб(6)	16141n	1	—	—	0.98	—	88.81	0.80	—	0.64	7.90	—	99.13	(Pt _{0.73} Fe _{0.23} Cu _{0.02} Rh _{0.01} Pd _{0.01}) _{1.00}
7	Kap2-гүб(7)	16141vc'e*	3	1.44	0.71	0.66	0.12	91.23	1.02	—	—	4.53	—	99.70	(Pt _{0.81} Fe _{0.14} Pd _{0.02} Os _{0.01} Rh _{0.01} Ir _{0.01}) _{1.00}
8	Kap2-гүб(7)	16141wd*	2	0.19	—	—	—	91.04	0.38	—	—	8.70	—	100.30	(Pt _{0.74} Fe _{0.25} Pd _{0.01}) _{1.00}
9	Kap2-гүб(8)	16142c	1	—	—	0.34	—	90.53	1.08	—	2.28	6.73	—	100.97	(Pt _{0.73} Fe _{0.19} Cu _{0.06} Pd _{0.02}) _{1.00}
10	Kap2-гүб(9)	16142fh*	2	—	—	—	—	90.86	0.32	—	0.22	8.72	—	100.12	(Pt _{0.74} Fe _{0.25} Cu _{0.01}) _{1.00}
11	Kap2-гүб(11)	16142j	1	—	—	1.40	—	94.90	0.56	—	—	2.59	—	99.46	(Pt _{0.88} Fe _{0.08} Pd _{0.01}) _{1.00}
12	Kap2-гүб(12)	16143b	1	2.37	—	—	—	89.18	0.77	—	0.40	8.10	—	100.82	(Pt _{0.73} Fe _{0.23} Os _{0.02} Pd _{0.01} Cu _{0.01}) _{1.00}
13	Kap2-гүб(13)	16143k	1	—	—	—	—	90.76	0.31	—	0.85	8.36	—	100.28	(Pt _{0.74} Fe _{0.24} Cu _{0.02}) _{1.00}
14	Kap2-гүб(14)	16143lp*	2	—	—	—	—	90.50	0.33	—	1.69	7.43	—	99.94	(Pt _{0.74} Fe _{0.21} Cu _{0.04} Pd _{0.01}) _{1.00}
15	Kap2-гүб(14)	16143o	1	—	—	—	—	93.38	0.34	—	0.83	4.50	—	99.05	(Pt _{0.83} Fe _{0.14} Cu _{0.02} Pd _{0.01}) _{1.00}
16	Kap2-гүб(15)	16143s	1	0.49	—	—	—	89.70	—	—	0.19	8.77	—	99.15	(Pt _{0.74} Fe _{0.25} Cu _{0.01}) _{1.00}
17	Kap2-гүб(16)	16143u	1	—	—	—	—	90.45	—	—	0.23	8.35	—	99.03	(Pt _{0.75} Fe _{0.24} Cu _{0.01}) _{1.00}
18	Kap2-гүб(17)	16143w	1	—	—	—	—	90.17	0.31	—	0.59	8.24	—	99.32	(Pt _{0.74} Fe _{0.24} Cu _{0.02}) _{1.00}
19	Kap2-гүб(18)	16143c'	1	—	—	—	—	90.35	0.22	—	1.13	8.03	—	99.73	(Pt _{0.74} Fe _{0.23} Cu _{0.03}) _{1.00}
20	Kap2-гүб(19)	16144a	1	—	—	—	—	90.68	0.27	—	—	9.44	—	100.39	(Pt _{0.73} Fe _{0.27}) _{1.00}
21	Kap2-гүб(20)	16144d	1	—	0.89	—	0.27	89.22	0.44	—	0.84	8.14	—	99.80	(Pt _{0.73} Fe _{0.23} Cu _{0.01} Ir _{0.01} Pd _{0.01} Ru _{0.01}) _{1.00}
22	Kap2-гүб(22)	16150b	1	14.64	2.82	1.11	1.16	75.58	0.81	—	—	3.17	—	99.29	Pd _{0.01}) _{1.00}
23	Kap2-гүб(23)	16150c	1	0.79	1.56	—	—	88.97	—	—	—	8.68	—	100.00	(Pt _{0.73} Fe _{0.25} Ir _{0.01} Os _{0.01}) _{1.00}
24	Kap2-гүб(24)	16150j	1	0.44	1.22	0.59	—	88.58	—	—	0.65	7.77	—	99.25	(Pt _{0.73} Fe _{0.23} Cu _{0.02} Ir _{0.01} Rh _{0.01}) _{1.00}
25	Kap2-гүб(25)	16150p	1	—	—	—	—	89.76	0.37	—	2.47	7.36	—	99.95	(Pt _{0.72} Fe _{0.21} Cu _{0.06} Pd _{0.01}) _{1.00}
26	Kap2-гүб(26)	16150s	1	—	—	—	—	91.42	0.27	—	0.77	8.53	—	100.98	(Pt _{0.74} Fe _{0.24} Cu _{0.02}) _{1.00}
27	Kap2-гүб(27)	16150v	1	—	—	—	—	90.94	—	—	0.40	8.66	—	100.00	(Pt _{0.74} Fe _{0.25} Cu _{0.01}) _{1.00}
28	Kap2-гүб(28)	16150x	1	—	—	—	—	89.94	0.53	—	0.76	7.80	—	99.04	(Pt _{0.75} Fe _{0.22} Cu _{0.02} Pd _{0.01}) _{1.00}
29	Kap2-ж(3)	16130fg*	2	0.85	—	0.94	—	87.82	1.92	—	2.28	6.11	—	99.92	(Pt _{0.72} Fe _{0.17} Cu _{0.06} Pd _{0.03} Rh _{0.01} Os _{0.01}) _{1.00}
30	Kap2-ж(4)	16130mp*	2	—	—	—	—	91.13	—	—	—	8.87	—	100.00	(Pt _{0.75} Fe _{0.25}) _{1.00}
31	Kap2-ж(5)	16130qr*	2	—	—	—	—	93.90	—	—	—	6.10	—	100.00	(Pt _{0.82} Fe _{0.18}) _{1.00}
32	Kap2-ж(6)	16130w	1	—	—	0.45	—	91.84	—	—	—	0.98	—	99.50	(Pt _{0.78} Fe _{0.18} Cu _{0.03} Rh _{0.01}) _{1.00}

33	Ka-p2-ж(7)	16130e'	1	-	0.51	-	89.89	-	0.81	-	7.80	-	99.01	
34	Ka-p2-ж(8)	16131d	1	-	1.05	-	92.14	0.35	-	2.48	3.02	-	99.05	
35	Ka-p2-ж(10)	16131j	1	-	0.35	-	89.38	-	2.44	-	6.90	-	99.08	
36	Ka-p2-ж(13)	16131lp	1	-	1.50	-	93.90	0.56	-	3.95	-	99.90	-	
37	Ka-p2-ж(14)	16131twya*	4	-	0.34	-	88.48	0.09	1.79	2.76	6.69	-	100.14	
38	Ka-p2-ж(16)	16132kp*	2	-	2.54	1.12	87.23	0.21	-	1.08	7.46	-	99.64	
39	Ka-p2-ж(18)	16132t	1	-	0.49	-	94.84	0.45	-	3.44	-	99.22	(Pt _{0.87} Fe _{0.11} Rh _{0.02} Pd _{0.01}) _{1.00}	
40	Ka-p2-ж(19)	16132v	1	-	0.55	-	89.71	0.60	-	8.40	-	99.26	(Pt _{0.87} Fe _{0.11} Rh _{0.01} Pd _{0.01}) _{1.00}	
41	Ka-p2-ж(20)	16132y	1	-	1.07	-	92.66	0.38	-	2.46	3.21	-	99.78	
42	Ka-p2-м(1)	16166bc*	2	-	0.30	-	89.50	1.10	-	0.57	8.47	-	99.94	
43	Ka-p2-м(3)	16166e	1	1.07	-	0.97	-	89.43	-	1.99	6.92	-	100.38	
44	Ka-p2-м(4)	16166l	1	-	-	-	90.60	-	2.43	6.93	-	99.96		
45	Ka-p2-м(6)	16166o	1	-	-	-	90.45	0.53	-	9.81	-	100.79		
46	Ka-p2-м(7)	16166rs*	2	-	-	-	90.72	-	0.39	8.63	-	99.74		
47	Ka-p2-м(8)	16166z	1	-	-	-	88.81	-	1.97	2.51	6.52	-	99.82	
48	Ka-p2-м(9)	16167b	1	-	-	-	91.45	0.36	-	9.006	-	100.87		
49	Ka-p2-м(10)	16167c	1	-	-	-	91.67	-	0.30	8.99	-	100.96		
50	Ka-p2-м(11)	16167h	1	-	-	-	91.04	-	0.98	8.44	-	100.46		
51	Ka-p2-м(12)	16167j	1	-	-	-	89.31	-	2.32	7.43	-	99.006		
52	Ka-p2-м(13)	16167o	1	-	-	-	90.43	-	1.28	8.29	-	100.00		
53	Ka-p2-м(14)	16167r	1	-	-	-	90.97	-	-	9.03	-	100.00		
54	Ka-p2-м(15)	16167w	1	-	-	-	91.01	-	0.57	0.80	8.28	-	100.66	
55	Ka-p2-м(17)	16168de*	2	-	-	-	90.41	0.42	-	0.92	8.05	-	99.79	
56	Ka-p2-м(18)	16168f	1	-	1.06	0.94	-	88.37	0.50	-	0.72	8.81	-	100.40
57	Ka-p2-м(19)	16168k	1	-	-	0.48	-	89.82	0.61	-	1.24	7.50	-	99.65
58	Ka-p2-м(20)	16168l	1	-	-	-	91.34	-	-	0.90	8.44	-	100.67	
59	Ka-p2-м(21)	16168s	1	-	-	-	90.15	-	-	1.53	8.32	-	100.00	
60	Ka-p2-м(22)	16168t	1	-	-	-	90.18	-	0.62	0.48	8.80	-	100.09	
61	Ka-p2-м(23)	16168b'	1	-	-	-	90.69	-	1.04	0.97	8.01	-	100.71	
62	Ka-p2-м(24)	16175bc*	2	-	-	-	90.34	0.27	-	-	9.11	-	99.72	
63	Ka-p2-м(25)	16175e	1	-	-	-	91.39	-	-	1.15	8.05	-	100.59	
64	Ka-p2-м(26)	16175f	1	-	-	-	91.81	-	-	-	8.98	-	100.79	
65	Ka-p2-м(27)	16175i	1	-	-	-	89.83	0.56	-	0.32	8.58	-	99.30	
66	Ka-p2-м(28)	16175j	1	-	-	0.36	-	90.68	0.36	-	0.79	8.22	-	100.41
67	Ka-p2-м(29)	16175q	1	-	-	-	89.81	0.56	-	0.33	8.64	-	99.34	
68	Ka-p2-м(30)	16175r	1	-	-	-	90.51	0.61	-	-	9.60	-	100.72	
69	Ka-p2-м(31)	16175v	1	-	-	-	90.23	-	-	0.24	8.69	-	99.16	
70	Ka-p2-м(32)	16175w	1	-	-	-	90.03	-	-	1.19	7.88	-	99.10	

Окончание таблицы 1

№ пп	Проба (зерно)	№ анализа	Кол-во анализ.	Os	Ir	Rh	Ru	Pt	Pd	Sb	Cu	Fe	Ni	Сумма	Кристаллохимическая формула
71	Ka-p2-M(33)	16176a	1	—	—	0.89	—	89.86	0.64	—	4.02	3.63	—	99.03	(Pt _{0.76} Fe _{0.11} Cu _{0.11} Rh _{0.01} Pd _{0.01}) _{1.00}
72	Ka-p2-M(34)	16176h	1	—	—	—	—	90.89	0.47	—	1.86	7.63	—	100.85	(Pt _{0.73} Fe _{0.21} Cu _{0.05} Pd _{0.01}) _{1.00}
73	Ka-p2-M(35)	16176j	1	—	—	—	—	90.13	0.76	—	0.22	8.89	—	100.00	(Pt _{0.73} Fe _{0.25} Pd _{0.01} Cu _{0.01}) _{1.00}
74	Ka-p2-M(36)	16176l	1	—	—	—	—	90.37	1.26	—	3.18	5.19	—	100.00	(Pt _{0.75} Fe _{0.15} Cu _{0.08} Pd _{0.02}) _{1.00}
75	Ka-2pC-Pt(2)	23229ma*	2	—	—	—	—	91.32	—	1.32	—	7.16	—	99.80	(Pt _{0.77} Fe _{0.21} Sb _{0.02}) _{1.00}
76	Ka-2pC-Pt(6)	232230e	1	—	—	0.71	—	91.62	—	—	—	7.46	—	99.78	(Pt _{0.77} Fe _{0.22} Rh _{0.01}) _{1.00}
77	Ka-2pC-Pt(6a)	232231def*	3	—	—	0.23	—	91.48	—	—	—	7.95	—	99.66	(Pt _{0.77} Fe _{0.23}) _{1.00}
78	Ka-2pC-Pt(7)	232232a	1	—	—	0.68	—	91.25	—	—	—	7.71	—	99.65	(Pt _{0.76} Fe _{0.23} Rh _{0.01}) _{1.00}
79	Ka-2pC-Pt(8)	232233a	1	—	—	0.39	—	92.27	—	—	—	7.35	—	100.01	(Pt _{0.78} Fe _{0.22}) _{1.00}
80	Ka-2pC-Pt(9)	232233cd*	2	—	—	0.08	—	91.52	—	0.83	0.68	6.40	—	99.52	(Pt _{0.78} Fe _{0.19} Cu _{0.02} Sb _{0.01}) _{1.00}
81	Ka-2pC-Pt(12)	232233g	1	—	—	1.14	—	91.03	—	—	—	7.63	—	99.80	(Pt _{0.76} Fe _{0.22} Rh _{0.02}) _{1.00}
82	Ka-2pC-Pt(14)	232234a	1	—	—	1.45	—	90.29	—	—	—	7.40	—	99.13	(Pt _{0.76} Fe _{0.22} Rh _{0.02}) _{1.00}
83	Ka-2pC-Pt(2)	232217ab*	2	—	—	1.48	—	92.80	—	—	0.31	4.98	—	99.57	(Pt _{0.81} Fe _{0.15} Rh _{0.03} Cu _{0.01}) _{1.00}
84	Ka-2pC-Pt(4)	232218a	1	—	—	0.56	—	91.70	—	—	—	7.28	—	99.55	(Pt _{0.78} Fe _{0.21} Rh _{0.01}) _{1.00}
85	Ka-2pC-Pt(5)	232218e	1	—	—	2.84	—	93.02	—	—	—	4.02	—	99.87	(Pt _{0.83} Fe _{0.12} Rh _{0.02}) _{1.00}
86	Ka-2pC-Pt(14)	232219a	1	—	—	3.37	—	92.90	—	—	0.39	3.17	—	99.83	(Pt _{0.83} Fe _{0.10} Rh _{0.06} Cu _{0.01}) _{1.00}
87	Ka-2pC-Pt(15)	232219g	1	—	—	—	—	91.12	—	—	—	8.53	—	99.65	(Pt _{0.75} Fe _{0.25}) _{1.00}
88	Ka-2pC-Pt(16)	232220a	1	—	—	—	—	92.17	—	—	0.21	7.34	—	99.71	(Pt _{0.78} Fe _{0.22}) _{1.00}
89	Ka-2pC-Pt(8)	232221a	1	—	—	0.29	—	91.41	—	—	0.72	6.75	—	99.17	(Pt _{0.78} Fe _{0.20} Cu _{0.02}) _{1.00}
90	Ka-2pC-Pt(9)	232222a	1	—	—	—	—	92.37	—	—	—	7.45	0.04	99.86	(Pt _{0.78} Fe _{0.22}) _{1.00}
91	Ka-2pC-Pt(10)	232223al*	2	—	—	0.89	—	91.89	—	—	—	7.08	—	99.86	(Pt _{0.78} Fe _{0.21} Rh _{0.01}) _{1.00}
92	Ka-2pC-Pt(11)	232224ab*	2	—	—	—	—	92.19	—	—	1.39	6.12	—	99.70	(Pt _{0.78} Fe _{0.18} Cu _{0.04}) _{1.00}
93	Ka-2pC-Pt(12)	232224cf*	2	—	—	0.34	—	92.5	—	—	0.26	6.42	—	99.52	(Pt _{0.79} Fe _{0.19} Cu _{0.01} Rh _{0.01}) _{1.00}
94	Ka-2pC-Pt(18)	232225b	1	—	—	2.22	—	90.22	—	—	—	7.15	—	99.59	(Pt _{0.76} Fe _{0.22} Rh _{0.02}) _{1.00}
95	Ka-2pC-Pt(19)	232225f	1	—	—	1.07	—	90.69	—	—	—	7.65	—	99.40	(Pt _{0.76} Fe _{0.23} Cu _{0.03}) _{1.00}
96	Ka-p2-xp(1)	16139f	1	—	—	—	—	86.57	—	3.14	2.91	7.38	—	100.00	(Pt _{0.69} Fe _{0.20} Cu _{0.07} Sb _{0.04}) _{1.00}
97	Ka-p2-xp(2)	16139j	1	3.18	5.62	4.18	—	81.54	0.75	—	0.66	4.07	—	100.00	(Pt _{0.63} Fe _{0.11} Pd _{0.06} Rh _{0.04} Os _{0.03} Cu _{0.02}) _{1.00}
98	Ka-p2-kp(8)	16163i	1	—	—	—	—	90.80	—	—	1.02	8.18	—	100.00	(Pt _{0.74} Fe _{0.23} Cu _{0.03}) _{1.00}
99	Ka-p2-Au(2)	16137ef*	2	1.08	—	0.24	0.22	89.20	0.58	—	0.42	8.26	—	100.00	(Pt _{0.68} Fe _{0.22} Pd _{0.08} Cu _{0.01} Os _{0.01}) _{1.00}
100	Ka-p2-Au(6)	16137f	1	—	—	—	—	90.10	0.41	—	0.97	8.52	—	100.00	(Pt _{0.69} Fe _{0.23} Pd _{0.06} Cu _{0.02}) _{1.00}
101	Ka-p2-Au(6)	16137z	1	—	—	0.62	—	89.07	1.08	—	2.42	6.81	—	100.00	(Pt _{0.63} Fe _{0.17} Pd _{0.14} Cu _{0.05} Rh _{0.01}) _{1.00}
102	Ka1-cr(5)	22216abc*	3	0.16	—	—	—	91.33	—	—	—	8.45	0.11	99.88	(Pt _{0.75} Fe _{0.25}) _{1.00}
103	Ka1-cr(10)	22216hgci*	3	0.16	—	—	—	92.67	—	—	0.50	6.55	0.02	99.90	(Pt _{0.79} Fe _{0.20} Cu _{0.01}) _{1.00}

Примечание. Здесь и в табл. 2, 3: формула минерала рассчитана на сумму металлов, равную 1; * – средние значения, количество проанализированных точек. Note. Here and in Tables 2, 3: the mineral formula is recalculated to metal sum of 1; * – average values, the number of letters correspond to the number of analyzed points.

Таблица 2

Table 2

Состав золота из включений в зернах платины из Казанской россыпи (мас. %)

Chemical composition of gold inclusions in platinum grains from the Kazan placer (wt. %)

№ п/п	№ зерна	№ анализа	Кол-во ан.	Pt	Pd	Os	Ir	Fe	Сумма	Кристаллохимическая формула
1	Ka10cp(10)01	22217d	1	87.04	0.43	1.59	2.61	8.23	-	(Au _{0.78} Pd _{0.14} Cu _{0.04} Ag _{0.02} Pt _{0.02}) _{1.00}
2	Ka10cp(10)02	22217e	1	85.86	0.57	1.34	3.76	8.34	-	(Au _{0.78} Pd _{0.14} Cu _{0.03} Pt _{0.02} Ag _{0.02}) _{1.00}
3	Ka10cp(10)03	22217f	1	84.75	0.81	1.47	5.06	7.55	-	(Au _{0.77} Pd _{0.13} Pt _{0.05} Cu _{0.04} Ag _{0.01}) _{1.00}
4	Ka10cp(10)04	22217h	1	85.9	0.43	1.34	2.88	9.12	-	(Au _{0.78} Pd _{0.15} Pt _{0.03} Ag _{0.03} Cu _{0.02}) _{1.00}
5	Ka10cp(10)05	22217u	1	85.77	-	0.84	-	7.32	6.07	-
6	KaOp20M(3)	16166g	1	85.46	-	1.60	4.06	9.48	-	100.00
7	KaOp20M(8)	16166w	1	91.23	-	2.12	3.45	3.76	-	(Au _{0.79} Pd _{0.13} O ₈ _{0.06} Cu _{0.02}) _{1.00}
8	KaOp20M(11)	16167i	1	86.59	14.37	-	-	-	-	(Au _{0.77} Pd _{0.16} Cu _{0.04} Pt _{0.04}) _{1.00}
9	KaOp20M(15)	16167v	1	89.07	-	1.01	5.81	-	-	(Au _{0.84} Pd _{0.07} Cu _{0.06} Pt _{0.03}) _{1.00}
10	KaOp20M(19)	16168j	1	87.21	-	1.21	3.49	-	-	(Au _{0.90} Pt _{0.06} Cu _{0.03} Fe _{0.01}) _{1.00}
11	KaOp20M(25)	16175d	1	89.1	-	2.30	2.28	6.13	-	(Au _{0.92} Cu _{0.04} Pt _{0.04}) _{1.00}
12	KaOp20M(28)	16175k	1	86.23	-	1.22	3.90	9.41	-	(Au _{0.81} Pd _{0.10} Cu _{0.07} Pt _{0.02}) _{1.00}
13	KaOp20M(31)	16175u	1	91.21	-	0.49	3.55	3.84	-	(Au _{0.77} Pd _{0.16} Pt _{0.03} Cu _{0.03} Fe _{0.01}) _{1.00}
14	KaOp20M(32)	16175z	1	73.27	-	1.63	18.53	3.34	2.02	(Au _{0.88} Pd _{0.07} Pt _{0.03} Cu _{0.02}) _{1.00}
15	KaOp20ж(6)	16130v	1	88.75	-	-	-	-	-	(Au _{0.67} Pt _{0.17} Pd _{0.06} Cu _{0.04} Fe _{0.04} Os _{0.02}) _{1.00}
16	KaOp20ж(10)	16131i	1	92.13	-	4.58	-	3.29	-	(Au _{0.81} Pd _{0.19}) _{1.00}
17	KaOp20ж(14)	16131r	1	89.88	-	5.02	-	5.10	-	(Au _{0.82} Cu _{0.13} Pd _{0.05}) _{1.00}
18	KaOp20ж(14)	16131x	1	95.44	-	0.58	-	3.98	-	(Au _{0.78} Cu _{0.14} Pd _{0.08}) _{1.00}
19	KaOp20ж	16132d	1	87.24	1.22	5.50	-	6.04	-	(Au _{0.91} Pd _{0.07} Cu _{0.02}) _{1.00}
20	KaOp20гү6(3)	16140k	1	83.32	0.28	1.01	6.3	7.50	0.42	(Au _{0.74} Cu _{0.14} Pd _{0.10} Ag _{0.02}) _{1.00}
21	KaOp20гү6(3)	16140l	1	85.44	0.31	2.16	5.08	7.23	-	(Au _{0.76} Pd _{0.13} Pt _{0.06} Cu _{0.03} Fe _{0.01} Ag _{0.01}) _{1.00}
22	KaOp20гү6(3)	16140w	1	84.88	-	1.70	3.89	7.83	1.09	(Au _{0.76} Pd _{0.12} Cu _{0.06} Pt _{0.05} Fe _{0.01}) _{1.00}
23	KaOp20гү6(5)	16141g	1	88.27	2.89	0.43	2.35	5.50	-	(Au _{0.82} Pd _{0.13} Cu _{0.05} Pt _{0.02} Cu _{0.01}) _{1.00}
24	KaOp20гү6(5)	16141l	1	87.79	4.87	0.40	0.00	5.91	-	(Au _{0.81} Pd _{0.10} Ag _{0.08} Cu _{0.01}) _{1.00}
25	KaOp20гү6(13)	16143i	1	91.94	-	2.23	3.75	2.08	-	(Au _{0.76} Pd _{0.12} Cu _{0.06} Pd _{0.04} Pt _{0.04}) _{1.00}
26	KaOp20гү6(14)	16143m	1	71.76	-	3.44	21.16	3.99	-	(Au _{0.76} Pt _{0.19} Cu _{0.05} Pd _{0.04} Os _{0.01} Fe _{0.01}) _{1.00}
27	KaOp20гү6(14)	16143q	1	84.52	0.28	3.58	3.45	8.07	-	(Au _{0.74} Pd _{0.13} Cu _{0.10} Pt _{0.03}) _{1.00}
28	KaOp20гү6(15)	16143r	1	91.45	-	0.30	4.73	3.11	-	(Au _{0.74} Pd _{0.06} Pt _{0.05} Cu _{0.01}) _{1.00}
29	KaOp20гү6(16)	16143t	1	94.43	0.82	-	1.77	2.09	-	(Au _{0.93} Pd _{0.04} Pt _{0.02} Ag _{0.01}) _{1.00}
30	KaOp20гү6(23)	16150d	1	87.63	-	0.26	4.27	7.99	-	(Au _{0.81} Pd _{0.13} Pt _{0.04} Fe _{0.01} Cu _{0.01}) _{1.00}
31	KaOp20гү6(26)	16150r	1	83.51	0.29	1.56	3.40	10.90	-	(Au _{0.74} Pd _{0.18} Cu _{0.04} Pt _{0.03} Ag _{0.01}) _{1.00}
32	Ka02рC0Pt(2)	232229kl*	3	98.12	-	-	-	1.16	-	99.27
33	Ka02рC0Pt(8)	232221b	1	86.64	-	2.78	-	9.92	-	(Au _{0.76} Pd _{0.16} Cu _{0.08}) _{1.00}
34	Ka02рC0Pt(8)	232221c	1	87.23	-	3.01	-	9.51	-	99.34
35	Ka02рC0Pt(8)	232221d	1	85.66	-	3.07	-	10.28	-	(Au _{0.75} Pd _{0.17} Cu _{0.08}) _{1.00}
36	Ka02рC0Pti(8)	232221ghi*	3	86.71	-	3.11	-	9.82	-	99.01
37	Ka02рC0Pti(8)	232221j	1	86.36	-	3.19	-	10.24	-	99.63
38	Ka02рC0Pti(9)	232222f	1	91.70	-	-	-	8.30	-	99.79
										100.00

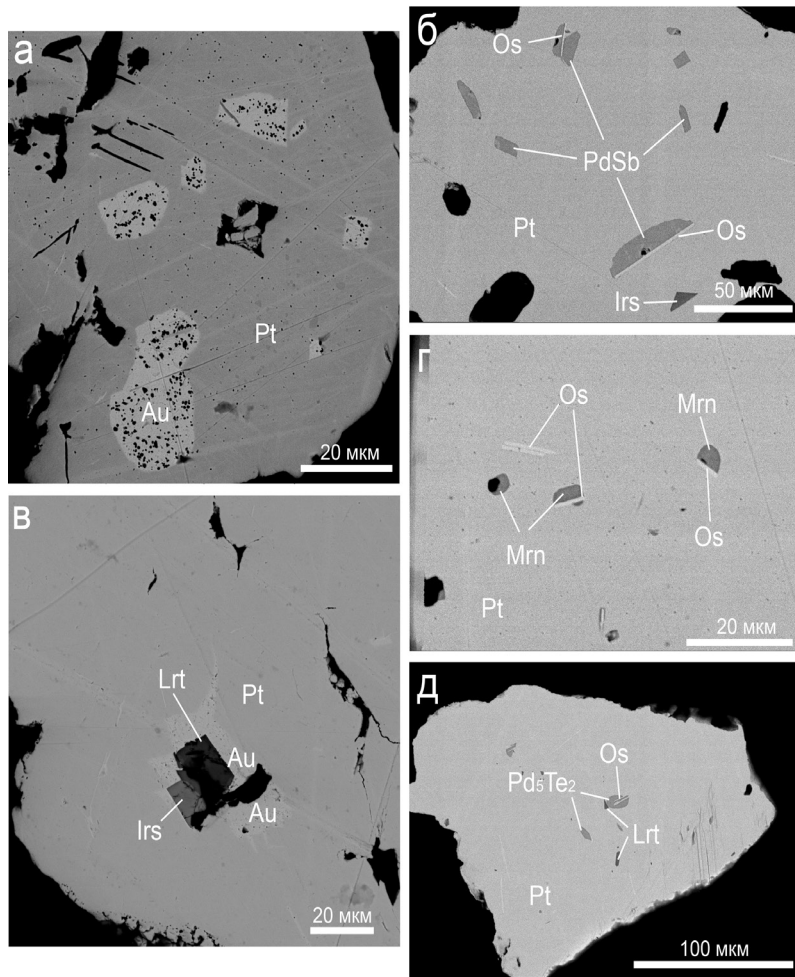


Рис. 4. Минеральные включения в изоферроплатине (Pt).

а – самородное золото (Au); б – сростки осмия (Os) и стибиопалладинита (PdSb), зерна ирасита (Irs); в – сросток золота, ирасита и лаурита (Lrt); г – сростки осмия и меренскиита (Mrn); д – сростки осмия, лаурита и минерала с идеализированной формулой Pd_5Te_2 .

Fig. 4. Mineral inclusions in isoferroplatinum (Pt).

а – native gold (Au); б – intergrowths of osmium (Os) and stibiopalladinite (PdSb), irarsite grains (Irs); в – intergrowth of gold, irarsite and laurite (Lrt); г – intergrowths of osmium and merenskiite (Mrn); д – intergrowths of osmium, laurite and mineral with idealized formula Pd_5Te_2 .

новообразованного высокопробного золота (Au 96–99 мас. %, Ag 1–2 мас. %). В отдельных случаях в составе золота отмечается примесь Cu (до 0.32 мас. %) (рис. 5).

Самородный осмий встречается в виде кристаллов с удлиненными сечениями толщиной до 5–10 мкм до 20 мкм в длину (рис. 4б) и ассоциирует с золотом и халькогенидами ЭПГ. Состав минерал сильно варьирует (табл. 3). Содержание Os составляет 43.58–76.68 мас. %. Во всех анализах зафиксирован Ir (15.4–43.67 мас. %). Часто в составе минерала отмечаются Ru (0.57–26.06 мас. %), Rh (0.12–1.01 мас. %) и Fe (0.14–0.7 мас. %). Платина определена только в двух анализах: ее содержания не превышают 1.53 мас. %.

Сульфиды представлены лауритом, эрликманитом, бауитом и не диагностированным точно минералом с формулой, близкой к $(Ir, Os)_3S_2$ (табл. 4).

Лаурит (RuS_2) образует кристаллы, близкие к прямоугольному сечению размером до 10–20 мкм (рис. 4в), и ассоциирует с золотом и сульфоарсенидами ЭПГ. Содержание Os в пределах одного кристалла может варьировать от 23.29 до 27.15 мас. %. Содержит примеси Os, Rh, Pt, Se и As.

Эрликманит встречен в одном образце, где он вместе с богатым Os лауритом образует кайму вокруг платины мощностью до 20–40 мкм. В кайме наблюдаются включения многочисленных кристаллов осмия. В составе минерала отмечаются высокие содержания Ru вплоть до состава лаурита.

Таблица 3

Table 3
Состав включений осмия, иридия, рутения и родия в платине из Казанской россыпи (мас. %)

№ п/п	Проба (зерно)	№ анализа	Os	Ir	Ru	Rh	Pt	Pd	Fe	Сумма	Кристаллохимическая формула
1	Ka-p2-губ(3)	16140m	94.78			3.47	1.08	1.04	0.28	—	(Os _{0.90} Ru _{0.06} Rh _{0.02} Pt _{0.01} Pd _{0.01}) _{1.00}
2	Ka-p2-губ(3)	16140x	96.11	—	0.56	0.36	1.64	0.67	—	99.35	(Os _{0.95} Pt _{0.02} Pd _{0.01} Ru _{0.01} Rh _{0.01}) _{1.00}
3	Ka-p2-губ(4)	16141b	90.79	1.08	0.41	0.63	4.93	0.69	0.52	99.05	(Os _{0.89} Pt _{0.05} Fe _{0.02} Pd _{0.01} Ir _{0.01} Rh _{0.01} Ru _{0.01}) _{1.00}
4	Ka-p2-губ(6)	16141o	88.10	—	0.64	0.53	9.08	—	0.77	99.12	(Os _{0.87} Pt _{0.09} Fe _{0.02} Ru _{0.01} Rh _{0.01}) _{1.00}
5	Ka-p2-губ(7)	16141t	75.83	15.82	2.74	0.60	4.64	—	0.38	100.00	(Os _{0.73} Ir _{0.15} Ru _{0.05} Pt _{0.05} Fe _{0.01} Rh _{0.01}) _{1.00}
6	Ka-p2-губ(13)	16143j*	91.45	6.50	—	0.49	—	0.41	0.28	100.00	(Os _{0.89} Cu _{0.06} Fe _{0.02} Pd _{0.01} Rh _{0.01}) _{1.00}
7	Ka-p2-Au(6)	16137m	76.78	10.63	1.49	1.67	8.49	—	0.94	—	(Os _{0.73} Ir _{0.10} Pt _{0.08} Fe _{0.03} Rh _{0.03} Ru _{0.03}) _{1.00}
8	Ka-p2-Au(13)	16137y	88.92	7.21	2.44	0.37	1.06	—	—	100.00	(Os _{0.87} Ir _{0.07} Ru _{0.04} Pt _{0.01} Rh _{0.01}) _{1.00}
9	Ka-p2-M(3)	16166f	96.50	—	0.55	—	2.63	—	0.28	99.97	(Os _{0.95} Pt _{0.03} Ru _{0.01} Fe _{0.01}) _{1.00}
10	Ka-p2-M(15)	16167u	73.46	2.00	—	—	22.54	—	2.00	100.00	(Os _{0.70} Pt _{0.21} Fe _{0.07} Ir _{0.02}) _{1.00}
11	Ka-p2-M(18)	16168g	85.61	9.68	0.81	0.30	2.58	—	0.21	99.20	(Os _{0.85} Ir _{0.10} Pt _{0.02} Ru _{0.01} Fe _{0.01} Rh _{0.01}) _{1.00}
12	Ka-p2-M(18)	16168h	79.83	14.71	1.90	0.43	3.19	—	0.22	100.28	(Os _{0.78} Ir _{0.14} Ru _{0.03} Pt _{0.03} Rh _{0.01} Fe _{0.01}) _{1.00}
13	Ka-p2-M(21)	16168r	94.54	—	—	—	5.46	—	—	100.00	(Os _{0.95} Pt _{0.05}) _{1.00}
14	Ka-p2-M(23)	16168a'	62.39	28.57	0.46	0.67	6.97	—	0.61	99.68	(Os _{0.61} Ir _{0.28} Pt _{0.07} Fe _{0.02} Rh _{0.01} Ru _{0.01}) _{1.00}
15	Ka-p2-M(29)	16175p	83.39	6.67	1.86	1.00	5.49	—	0.69	99.11	(Os _{0.81} Ir _{0.06} Pt _{0.05} Ru _{0.03} Fe _{0.02} Rh _{0.02}) _{1.00}
16	Ka-p2-ж(3)	16130d	93.17	3.01	0.41	—	2.84	—	—	99.43	(Os _{0.93} Ir _{0.03} Pt _{0.03} Ru _{0.01}) _{1.00}
17	Ka-p2-ж(4)	16130k	87.62	—	1.26	2.43	8.15	—	0.54	100.00	(Os _{0.84} Pt _{0.08} Fe _{0.02} Rh _{0.04} Pt _{0.02} Fe _{0.02}) _{1.00}
18	Ka-p2-ж(6)	16130u	66.54	23.00	1.71	0.69	6.71	—	0.45	99.10	(Os _{0.65} Ir _{0.22} Pt _{0.07} Ru _{0.03} Fe _{0.02} Rh _{0.01}) _{1.00}
19	Ka-p2-ж(7)	16130b'	90.13	3.01	1.11	—	5.42	—	0.56	100.24	(Os _{0.88} Pt _{0.05} Ir _{0.03} Ru _{0.02} Fe _{0.02}) _{1.00}
20	Ka-p2-ж(16)	16132j	86.67	2.70	2.57	0.45	6.61	—	0.60	99.59	(Os _{0.84} Pt _{0.06} Ir _{0.05} Pt _{0.02} Ru _{0.02} Fe _{0.01}) _{1.00}
21	Ka-p2-ж(16)	16132o	84.49	3.35	2.66	0.53	7.51	—	0.84	99.38	(Os _{0.81} Pt _{0.07} Ru _{0.05} Ir _{0.03} Fe _{0.03} Rh _{0.01}) _{1.00}
22	Ka-p2-ж(19)	16132u	68.78	7.91	0.44	2.18	18.78	—	1.91	100.00	(Os _{0.65} Pt _{0.17} Ir _{0.07} Fe _{0.06} Rh _{0.04} Ru _{0.01}) _{1.00}
23	Ka-p2-xp(2)	16139h	69.64	23.26	2.14	1.35	3.37	—	0.23	100.00	(Os _{0.68} Ir _{0.22} Ru _{0.04} Pt _{0.03} Rh _{0.02} Fe _{0.01}) _{1.00}
24	Ka-2pC-Pt(6a)	23231a	12.35	74.11	1.04	2.36	9.37	—	0.58	99.81	(Ir _{0.71} Os _{0.12} Pt _{0.09} Rh _{0.04} Ru _{0.02} Fe _{0.02}) _{1.00}
25	Ka-2pC-Pt(6a)	23231b	12.24	75.85	0.74	2.09	8.45	—	—	99.39	(Ir _{0.75} Os _{0.12} Pt _{0.08} Rh _{0.04} Ru _{0.01}) _{1.00}
26	Ka-2pC-Pt(6a)	23231c	11.80	77.09	0.70	1.85	8.41	—	—	99.85	(Ir _{0.76} Os _{0.12} Pt _{0.08} Rh _{0.03} Ru _{0.01}) _{1.00}
27	Ka-2pC-Pt(3)	23217d	88.35	11.47	—	—	—	—	—	99.82	(Os _{0.89} Ir _{0.11}) _{1.00}
28	Ka-2pC-Pt(3)	23217e	82.29	16.95	0.41	—	—	—	—	99.65	(Os _{0.82} Ir _{0.17} Ru _{0.01}) _{1.00}
29	Ka-2pC-Pt(3)	23217f	81.61	16.73	1.49	—	—	—	—	99.83	(Os _{0.81} Ir _{0.16} Ru _{0.03}) _{1.00}
30	Ka-2pC-Pt(4)	23218c	84.41	12.36	2.14	0.31	—	—	—	99.22	(Os _{0.83} Ir _{0.12} Ru _{0.04} Rh _{0.1}) _{1.00}
31	Ka-2pC-Pt(4)	23218d	80.09	18.05	0.49	0.23	—	—	0.6	99.46	(Os _{0.79} Ir _{0.18} Fe _{0.02} Ru _{0.01}) _{1.00}
32	Ka-2pC-Pt(8)	23221e	86.21	12.19	1.49	—	—	—	—	99.89	(Os _{0.85} Ir _{0.12} Ru _{0.03}) _{1.00}

Примечание. * – анализ содержит 0.87 мас. % Cu.
Note. * – analysis contains 0.87 wt. % Cu.

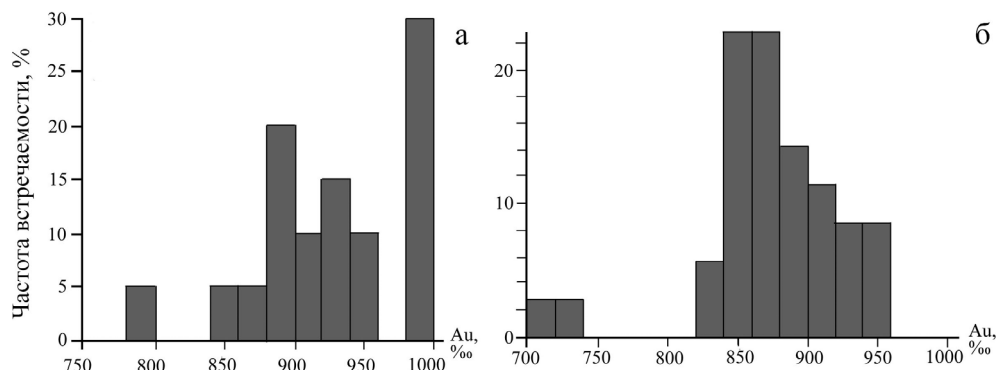


Рис. 5. Пробность золота Казанской россыпи.

а – центральная часть золотин ($n = 29$); б – включения золота в платине ($n = 35$).

Fig. 5. Fineness of gold from the Kazan placer.

а – central part of gold ($n = 29$); б – inclusions of gold in platinum ($n = 35$).

Баутум (Rh_2S_3) (?) выявлен в виде единичного включения размером до 30 мкм с удлиненным сечением в платине. В составе отмечаются высокие содержания Cu (до 23.54 мас. %).

Минерал с формулой, близкой к $(Ir; Os)_3S_2$, образует внешнюю кайму мощностью до 30 мкм вокруг зерна самородного ирида. Соотношение между Ir и Os в минерале слабо варьирует. Отмечаются примеси Fe, Bi и Ru. В настоящее время минерал с такой формулой не известен, однако находки минерала подобного состава известны на месторождении Витватерсранд (ЮАР) (Toma, Murphy, 1978).

Сульфоарсениды представлены иарситом и холлингуортитом (?) (табл. 5).

Иарсит найден в двух зернах платины, где он образует кристаллы с треугольным или четырехугольным сечением размером до 10–15 мкм (рис. 4б). Минерал ассоциирует с золотом, осмием, лауритом и недиагностированными соединениями с формулой, близкой к $Pd_{10}Sb_3Te$. Иарсит не стехиометричен, что для него типично (mindat.org).

Холлингуортит (?) выявлен в одном зерне платины, где он образует «россыпь» кристаллов трапециевидного сечения размером до 40–50 мкм (рис. 4б). Ассоциирует с самородным осмием и стибиопалладинитом. Подобно иарситу минерал не стехиометричен.

Минералы Sb представлены стибиопалладинитом и не диагностированным точно соединением с формулой, близкой к $Pd_{10}Sb_3Te$ (табл. 6).

Стибиопалладинит выявлен в одном зерне платины, где вместе с холлингуортитом он образует многочисленные зерна вытянутой прямоугольной формы до 50 мкм в длину (рис. 4б). Часто срастается с осмием. В составе стибиопалладинита от-

мечаются высокие содержания Pt (до 42.63 мас. %) (табл. 6).

Минерал с формулой, близкой к $Pd_{10}Sb_3Te$, выявлен в двух зернах платины в виде включений (рис. 4в). Минерал образует сростки и кристаллы с изометрическим сечением размером до 20–40 мкм, ассоциирует с осмием и иарситом. Соотношения между основными компонентами значительно варьируют даже в пределах одного зерна, отмечаются примеси Pt, Fe и As (табл. 6).

Теллуриды представлены меренскиитом, теллуридом палладия с примерной формулой Pd_5Te_2 и теллуридом платины с формулой, близкой к Pt_5Te_8 (табл. 7).

Меренскиит выявлен в одном зерне платины, где он образует округлые зерна размером до 5–7 мкм (рис. 4г) и ассоциирует с осмием. В составе минерала отмечается примесь Sb.

Минерал с формулой, близкой к Pd_5Te_2 , встречен в одном зерне платины (рис. 4д), где он образует округлые зерна размером до 10–15 мкм и ассоциирует с осмием и лауритом. В составе минерала отмечается примесь Sb.

Минерал с формулой, близкой к Pt_5Te_8 выявлен в одном зерне платины, где он образует сростки с осмием и минералом $\sim Pd_{10}Sb_3Te$. Размер сростка достигает 15 мкм, а размер зерна $\sim Pt_5Te_8$ составляет около 7 мкм. В составе минерала отмечается примесь Rh и Pd.

Среди включений в платине также отмечаются сульфиды родия и рутения со значительной примесью селена, вплоть до формального соответствия классу селенидов (Белогуб и др., 2019). В одном случае существенная примесь Se присутствует в теллуриде Pt.

Таблица 4

Table 4

Состав сульфидов ЭПГ из Казанской россыпи (мас. %)

Chemical composition of PGE sulfides from the Kazan placer (wt. %)

№ п/п	№ анализа	S	Fe	Ni	Cu	As	Se	Ru	Rh	Os	Pd	Ir	Pt	Bi	Сумма	Кристаллохимическая формула
Лаурит																
1	16141к	35.78	—	—	—	2.76	51.12	5.23	1.86	—	2.98	0.26	—	99.98	(Ru _{0.88} Rh _{0.09} Ir _{0.03} Os _{0.02}) _{1.01} (S _{1.94} As _{0.06}) _{2.00}	
2	16166т	29.24	—	—	—	2.34	35.54	3.40	23.29	—	—	0.65	—	100.39	(Ru _{0.69} Os _{0.24} Rh _{0.06} Pt _{0.01}) _{1.00} (S _{1.79} Se _{0.15} As _{0.06}) _{2.00}	
3	16166у	29.03	—	—	—	2.41	5.17	32.50	3.18	27.15	—	0.56	—	100.00	(Ru _{0.54} Os _{0.28} Rh _{0.01}) _{0.99} (S _{1.81} Se _{0.13} As _{0.06}) _{2.00}	
4	23225д	38.34	—	—	—	—	50.71	10.94	—	—	—	—	—	100.00	(Ru _{0.84} Rh _{0.18}) _{1.01} S _{2.00}	
5	23225г	38.28	—	—	—	—	55.78	5.94	—	—	—	—	—	100.00	(Ru _{0.92} Rh _{0.10}) _{1.02} S _{2.00}	
6	23226к	30.86	—	—	—	22.64	1.09	40.77	—	4.60	—	—	—	99.96	(Ru _{0.46} O _{0.45} Ir _{0.05} Rh _{0.02}) _{0.98} S _{2.00}	
Эрликоманит																
7	23226е	30.35	—	—	—	—	—	18.54	—	39.03	—	11.80	—	99.71	(Os _{0.43} Ru _{0.39} Ir _{0.13}) _{0.95} S _{2.00}	
8	23226f	25.02	—	—	—	—	—	12.23	0.51	45.89	—	15.72	—	99.38	(Os _{0.62} Ru _{0.31} Ir _{0.21} Rh _{0.01}) _{1.15} S _{2.00}	
Баутит																
9	22232а	36.03	0.42	0.35	17.73	—	—	—	45.47	—	—	—	—	100.00	(Rh _{1.18} Cu _{0.75} Fe _{0.02}) _{1.96} S _{3.00}	
10	22232б	35.68	0.58	0.10	17.51	—	—	—	45.86	—	0.27	—	—	100.00	(Rh _{1.20} Cu _{0.75} Fe _{0.03} Pd _{0.01}) _{1.99} S _{3.00}	
11	22232с	36.28	—	21.09	—	—	—	42.59	—	—	—	—	—	100.00	(Rh _{1.09} Cu _{0.89}) _{1.98} S _{3.00}	
12	22232д	35.77	—	—	23.54	—	—	40.69	—	—	—	—	—	100.00	(Rh _{1.06} Cu _{1.00}) _{2.06} S _{3.00}	
Минерал состава Ir ₃ S ₂																
13	23226б	10.42	0.58	—	—	—	—	2.27	0.00	35.14	—	50.38	—	0.45	99.24	
14	23226с	9.65	—	—	—	—	—	—	—	33.03	—	56.06	—	0.64	99.37	
(Ir _{1.60} Os _{1.13} Ru _{0.14} Fe _{0.06} Bi _{0.01}) _{2.94} S _{2.00}																

Примечание. Формулы минералов рассчитаны на два (лаурит и эрликоманит) и три (баутит) аниона. Прочерк – элемент не определен.
Note. The formulas are recalculated to two (laurite and erlichmanite) and three (baute) anions. Dash – not determined.

Таблица 5

Chemical composition of PGE sulfoarsenides from the Kazan placer (wt. %)

№ п/п	№ анализа	S	As	Se	Ru	Rh	Pd	Os	Ir	Pt	Сумма	Кристаллохимическая формула
Ирарсит												
1	23229г	14.79	24.32	—	1.26	17.14	—	5.42	36.93	—	99.85	(Ru _{0.03} Os _{0.06} Rh _{0.36} Ir _{0.42}) _{0.86} As _{0.70} S _{1.00}
2	16141ј	11.38	37.90	1.61	1.72	13.2	0.28	1.17	31.71	0.58	99.56	(Pt _{0.01} Pd _{0.01} Ir _{0.46} Os _{0.02} Rh _{0.36}) _{0.91} (Se _{0.06} As _{1.42}) _{1.48} S _{1.00}
Холлингторит												
3	16141д	16.48	32.51	2.78	8.95	21.9	—	8.65	8.03	0.81	100.13	(Pt _{0.01} Ir _{0.08} Os _{0.09} Rh _{0.41}) _{0.76} (Se _{0.07} As _{0.84}) _{0.91} S _{1.00}
4	16141е	14.96	37.94	2.05	5.50	26.55	0.33	5.25	7.60	0.79	100.98	(Pt _{0.01} Pd _{0.01} Ir _{0.6} Os _{0.06} Rh _{0.55}) _{0.83} (Se _{0.06} As _{1.08}) _{1.45} S _{1.00}

Примечание. Формулы минералов рассчитаны на один атом серы.
Note. The formulas are recalculated to one S atom.

Таблица 6
Table 6

Состав минералов Sb из Казанской россыпи (мас. %)

Chemical composition of Sb minerals from the Kazan placer (wt. %)

№ п/п	№ ан.	Fe	Cu	As	Ru	Rh	Pd	Sb	Te	Pt	Ag	Сумма	Кристаллохимическая формула
Стибиопалладинит													
1	23229b	—	—	—	—	—	—	41.42	26.71	—	31.31	—	99.44 ($\text{Pt}_{1.47}\text{Pd}_{3.57}^{5.04}\text{Sb}_{2.00}$)
2	23229c	—	—	—	—	—	—	42.35	27.21	—	28.53	1.49	99.57 ($\text{Ag}_{0.12}\text{Pt}_{1.31}^{5.58}\text{Pd}_{3.58}^{5.02}\text{Sb}_{2.00}$)
3	23229d	—	—	—	—	—	—	42.63	27.07	—	27.95	2.07	99.73 ($\text{Ag}_{0.17}\text{Pt}_{1.29}^{5.63}\text{Pd}_{3.63}^{5.09}\text{Sb}_{2.00}$)
4	23229e	—	—	—	—	—	—	40.43	26.82	—	30.20	1.73	99.18 ($\text{Ag}_{0.15}\text{Pt}_{1.41}^{5.47}\text{Pd}_{3.47}^{5.02}\text{Sb}_{2.00}$)
5	23229f	—	—	—	—	—	—	42.75	26.88	—	30.05	—	99.68 ($\text{Pt}_{1.40}\text{Pd}_{3.66}^{5.06}\text{Sb}_{2.00}$)
6	23229h	—	—	—	—	—	—	42.22	26.71	—	30.28	—	99.21 ($\text{Pt}_{1.42}\text{Pd}_{3.64}^{5.06}\text{Sb}_{2.00}$)
7	23229i	—	—	—	—	—	—	42.27	26.64	—	30.86	—	99.78 ($\text{Pt}_{1.45}\text{Pd}_{3.65}^{5.10}\text{Sb}_{2.00}$)

$\sim\text{Pd}_{10}\text{Sb}_3\text{Te}$

Зайкова Е.В., Блинов И.А., Котляров В.А.

Примечание. Формулы стибиопалладинита рассчитаны на два аниона, минерала с идеализированной формулой $\text{Pd}_{10}\text{Sb}_3\text{Te}$ — на сумму ($\text{Sb} + \text{As}$), равную 3.
Note. The formulas of stibiopalladinite are recalculated to two anions. The formulas of the idealized mineral $\text{Pd}_{10}\text{Sb}_3\text{Te}$ are recalculated to $\text{Sb} + \text{As}$ sum of 3.

Таблица 7
Table 7

Состав теллуридов ЭПГ Казанской россыпи (мас. %)

Chemical composition of PGE tellurides from the Kazan placer (wt. %)

№ п/п	№ ан.	Fe	Se	Rh	Pd	As	Sb	Te	Pt	Сумма	Кристаллохимическая формула	
Меренският												
1	24016e	—	—	—	—	—	62.65	—	1.20	36.14	—	100.00 ($\text{Pd}_{2.01}(\text{Te}_{0.97}\text{Sb}_{0.03})_{1.00}$)
2	24016f	—	—	—	—	—	63.48	—	3.17	33.35	—	100.00 ($\text{Pd}_{2.08}(\text{Te}_{0.91}\text{Sb}_{0.09})_{1.00}$)
3	24016g	—	—	—	—	—	61.89	—	3.81	34.3	—	100.00 ($\text{Pd}_{1.94}(\text{Te}_{0.90}\text{Sb}_{0.10})_{1.00}$)
$\sim\text{Pd}_5\text{Te}_2$												
4	23225c	—	—	—	—	—	67.42	—	7.93	23.93	—	99.29 ($\text{Pd}_{5.02}(\text{Te}_{1.49}\text{Sb}_{0.51})_{2.00}$)
5	23225e	—	—	—	—	—	68.62	2.04	10.9	17.88	—	99.43 ($\text{Pd}_{5.03}(\text{Te}_{1.49}\text{Sb}_{0.69}\text{As}_{0.12})_{2.00}$)
6	16140e	0.36	1.23	10.19	2.44	—	—	55.36	30.79	100.36	—	($\text{Pt}_{2.80}\text{Rh}_{1.75}\text{Pd}_{0.41}\text{Fe}_{0.11}^{5.07}(\text{Te}_{7.72}\text{Sb}_{0.28})_{8.00}$)

Примечание. Формулы минералов рассчитаны на два (Pd_5Te_2) и восемь (Pt_5Te_8) атомов Te и сумму Te и Sb, равную 1 (меренският).
Note. The formulas of minerals are recalculated to two (Pd_5Te_2) and eight (Pt_5Te_8) Te atoms and Te + Sb sum of 1 (merenskiite).

Хромшпинелиды (феррохромиты и магнезиохромиты) ранее были описаны В.В. Зайковым с соавторами (2018). Они образуют округлые изометричные зерна размером до около 30–70 мкм.

Обсуждение результатов и заключение

Подобно платине из других россыпей (Миасская, Байрамголовская и Малоиремельская) платина Казанской россыпи содержит множество включений халькогенидов ЭПГ (Зайков и др., 2016а, б). По мнению И.Д. Толстых с соавторами (1997) сульфиды, селениды и теллуриды ЭПГ формируются при эпигенетическом воздействии на типичные минералы ЭПГ офиолитов поздних гидротерм.

По данным ЛА-ИСП-МС анализа (Артемьев, Зайков, 2018), платина Казанской россыпи обогащена (по сравнению с Малоиремельской) золотом в 50 раз, серебром – в 5 раз, ртутью – в 10 раз и молибденом – в 50 раз. Вероятно, большая степень обогащения платины Казанской россыпи многими халькофильными и благороднометалльными элементами связана с недалеким переносом от коренного источника эрозии. Важными структурными примесями для определения источника платины, вне зависимости от окатанности и степени преобразования, могут служить содержания Fe, Co, Ni, V и Cr.

Хромшпинелиды Казанской россыпи имеют более низкие содержания Cr по сравнению с хромшпинелидами Ингульской, Малоиремельской и Байрамголовской россыпей (Зайков и др., 2018). Существует дискуссия о возможных источниках формирования Казанской россыпи (Зайков и др., 2018). Возможно, что близким источником минералов группы платины могли быть ультрамафит-габровые ассоциации, распространенные в пределах Гогинского массива.

Авторы благодарят Е.В. Белогуб, И.Ю. Мелекесцеву за консультации и К.А. Новоселова за участие в анализе проб. Работа выполнена в рамках государственной бюджетной темы «Минералого-геохимическая эволюция и металлогенез гидротермальных, аутигенных и гипергенных рудообразующих систем» № НИОКР АААА-А19-119061790049-3.

Литература

Артемьев Д.А., Зайков В.В. (2018) Методика ЛА-ИСП-МС анализа и элементы-примеси в самородной

платине из россыпей Южного Урала. *Геоархеология и археологическая минералогия-2018*. Миасс: Институт минералогии УрО РАН, 161–165.

Баранников А.Г. (2006) Золотоносность Гогинского рудно-россыпного района (Южный Урал). Екатеринбург, УГГУ, 197 с.

Белогуб Е.В., Зайкова Е.В., Котляров В.А., Шиловских В.В., Бритвин С.Н., Паутов Л.А. (2019) Селен в минералах элементов группы платины из золотоносных россыпей Южного Урала. *Минералогические музеи 2019. Минералогия вчера, сегодня, завтра. Материалы конференции*. Санкт-Петербург, СПбГУ, 87–89.

Зайков В.В., Котляров В.А., Зайкова Е.В., Крайнев Ю.Д. (2016а) Зональные зерна рутения из Малоиремельской россыпи (Южный Урал). *Металлогенез древних и современных океанов-2016. От минералогенеза к месторождениям*. Миасс: Институт минералогии УрО РАН, 219–224.

Зайков В.В., Мелекесцева И.Ю., Котляров В.А., Зайкова Е.В., Крайнев Ю.Д. (2016б) Сростки минералов ЭПГ в Миасской россыпной зоне (Южный Урал) и их коренные источники. *Минералогия*, 4, 31–47.

Зайков В.В., Таиров А.Д., Зайкова Е.В., Юминов А.М., Котляров В.А. (2016в) Благородные металлы в рудах и древних золотых изделиях Центральной Евразии. Челябинск, Каменный пояс, 314 с.

Зайков В.В., Савельев Д.Е., Зайкова Е.В. (2018) Природа микровключений хромшпинелидов в зернах платиноидов из золотых россыпей Южного Урала. *Записки РМО*, (5). 27–40.

Петровская Н.В. (1973) Самородное золото. М., Наука, 345 с.

Сигов А.П., Ломаев А.В., Сигов В.Л., Стороженко Л.Е., Хрыпов В.Н., Шуб И.З. (1971) Рассыпь Урала, условия их образования, размещения и элементы геоморфологического прогноза. *Геоморфология*, 1, 28–38.

Толстых Н.Д., Кривенко А.П., Поспелова Л.Н. (1997) Необычные соединения иридия, осмия и рутения с селеном, теллуром и мышьяком из россыпей реки Золотой (Западный Саян). *Записки ВМО*, ч. СXXVI, (6), 23–34.

Zaykov V.V., Melekestseva I.Yu., Zaykova E.V., Kotlyarov V.A., Kraynev Yu.D. (2017) Gold and platinum group minerals in placers of the South Urals: composition, microinclusions of ore minerals and primary sources. *Ore Geology Reviews*, 85, 299–320

Toma S.A., Murphy S. (1978) Exsolution of gold from detrital platinum-group metal grains from Witwatersrand auriferous conglomerates. *Canadian Mineralogist*, 16, 641–650.

www.mindat.org

References

- Artem'ev D.A., Zaykov V.V.** (2018) [LA-ISP-MS analysis and trace elements in native platinum from the Southern Urals placers]. *Geoarheologiya i arheologicheskaya mineralogiya-2018* [Geoarchaeology and archaeological mineralogy-2018]. Miass, IMin UB RAS, 161–165. (in Russian)
- Barannikov A.G.** (2006). [The Gogino gold-bearing placer district (Southern Urals)]. Yekaterinburg, UGGU, 197 p. (in Russian)
- Belogub E.V., Zaykova E.V., Kotlyarov V.A., Shilovskikh V.V., Britvin S.N., Pautov L.A.** (2019) [Selenium in minerals of platinum group elements from gold-bearing placers of the southern Urals]. *Minerologicheskie muzei-2019. Mineralogiya vchera, segodnya, zavtra. [Mineralogical museums-2019. Mineralogy: yesterday, today and tomorrow]*. St. Petersburg, St. Petersburg State University, 87–89 (in Russian)
- Petrovskaya N.V.** (1997). Native gold. Moscow, Nauka, 345 p. (in Russian).
- Sigov A.P., Lomaev A.V., Sigov V.L., Storozhenko L.E., Khrypov V.N., Shub I.Z.** (1971) [The Urals placers, conditions of their formation, location and elements of geomorphological forecast]. *Geomorfologiya [Geomorphology]*, 1, 28–38. (in Russian).
- Tolstykh N.D., Krivenko A.P., Pospelova L.N.** (1997). [Unusual compounds of iridium, osmium and ruthenium with selenium, tellurium and arsenic from placers of the Zolotaya River (western Sayan)]. *Zapiski VMO [Proceedings of the Russian Mineralogical Society]*, (6), 23–34. (in Russian).
- Toma S.A., Murphy S.** (1978) Exsolution of gold from detrital platinum-group metal grains from Witwatersrand auriferous conglomerates. *Canadian Mineralogist*, 16, 641–650.
www.mindat.org
- Zaykov V.V., Kotlyarov V.A., Zaykova E.V., Krainev Yu.D.** (2016a). [Zonal ruthenium grains from the Maly Iemel placer (South Urals)] *Metallogeniya drevnikh i sovremennykh okeanov-2016. Ot mineralogeneza k mestorozhdeniyam [Metallogeny of ancient and modern oceans-2016. From mineralogenesis to deposits]*. Miass, IMin UB RAS, 219–224. (in Russian)
- Zaykov V.V., Melekestseva I.Yu., Kotlyarov V.A., Zaykova E.V., Krainev Yu.D.** (2016b) [Intergrowths of PGE minerals in the Miass placer zone and their primary sources]. *Mineralogiya [Mineralogy]*, 4, 31–47. (in Russian)
- Zaykov V.V., Melekestseva I.Yu., Zaykova E.V., Kotlyarov V.A., Kraynev Yu.D.** (2017). Gold and platinum group minerals in placers of the South Urals: composition, microinclusions of ore minerals and primary sources. *Ore Geology Reviews*, 85, 299–320.
- Zaykov V.V., Savel'ev D.E., Zaykova E.V.** (2018). [Nature of microinclusions of chrome spinel in grains of platinum group metals from gold placers in the South Urals]. *Zapiski RMO [Proceedings of the Russian Mineralogical Society]*, (5), 27–40. (in Russian).
- Zaykov V.V., Tairov A.D., Zaikova E.V., Yuminov A.M., Kotlyarov V.A.** (2016b) [Precious metals in ores and ancient gold products of Central Eurasia]. Chelyabinsk, Kamennyi poyas, 314 p. (in Russian).

Статья поступила в редакцию 13 января 2020 г.